

# پیبود عملکرد مخلوط‌های آسفالتی حساس در برابر رطوبت

محمد طبیب  
دانشجوی کارشناسی ارشد

نادر طباطبائی  
استادیار

دانشکده مهندسی عمران، دانشگاه صنعتی شریف

## چکیده

عربان شدگی مصالح یکی از خرابی‌هایی است که به وفور در روسازی‌های آسفالتی، به خصوص در مناطقی که دارای شرایط سخت آب و هوایی هستند، رخ می‌دهد. به منظور مطالعه در مورد این خرابی، یک تحقیق تجربی در آزمایشگاه تکنولوژی آسفالت دانشگاه صنعتی شریف به مورد اجراء گذاشته شد. در طی آزمایش‌ها دو نوع سنگدازه، یکی مستعد به عربان شدگی (سنگ سیلیس) و دیگری مقاوم در برابر آن (سنگ آهک)، انتخاب شد. ابتدا با استفاده از روش تجربی مارشال، درصد قیر پیونده برای سنگدازه‌ها تعیین و سپس مخلوط‌های آسفالتی حاوی سنگدازه‌های مذکور توسط آزمایش کشش غیرمستقیم، مطابق استاندارد ۸۵-۲۸۳ AASHTO [۱]. همچنین تأثیر پودر آهک هیدرآله به عنوان ماده افزودنی در افزایش استقامت مخلوط‌های آسفالتی در برابر عربان شدگی بررسی شد. نتایج تحقیق نشان داد که مخلوط‌های آسفالتی حاوی سنگ آهک، پایداری بیشتری را در برابر اشتعاع شدگی و سیکل انجماد-ذوب در مقایسه با سنگدازه‌های سیلیس دارند. همچنین افزودن آهک هیدرآله به صورت دوغاب به سنگدازه‌ها، پایداری هر دو نوع مخلوط را افزایش می‌دهد.

## Improving the Performance of Moisture Sensitive Asphaltic Mixes

Nader Tabatabaei,  
Assistant professor

Mohammad Tabib,  
Graduate Student

Department of Civil Engineering Sharif  
University of Technology

## Abstract

The stripping of asphalt from aggregate is one of the most common types of distress, especially in areas with harsh climates. In order to examine this problem and ways to overcome it, research was conducted at the Asphalt Technology Laboratory of Sharif University of Technology.

This research involved two types of aggregate; limestone and quartzite. The former is known to be resistant to moisture damage (hydrophobic) and the latter is sensitive to moisture damage (hydrophilic). Marshall method of mix design was used to derive the job mix formula. Hydrated lime was used as an anti-stripping agent. The mixes were then evaluated by conducting indirect tensile

*strength tests in conformance with AASHTO T283.*

*The results showed that mixes containing quartzite had very low resistance to moisture. However, treating quartzite with lime significantly improved the stability and the indirect tensile strength of the mixes.*

## ۱- مقدمه

راستا تأثیر پودر آهک هیدراته به عنوان ماده ضد عریان شدگی بررسی شد. در مرحله اول آزمایش‌ها، از روش طرح اختلاط مارشال برای تعیین درصد بهینه قیر برای هر یک از سنگدانه‌ها استفاده شد. در مرحله دوم، مقاومت کششی مخلوط‌های آسفالتی، که شاخصی برای سنجش میزان چسبندگی قیر و سنگدانه است، با آزمایش کشش غیرمستقیم به دست آمد.

## ۲- برنامه تحقیقاتی

مواد به کار رفته عبارت بودند از دو نوع سنگدانه، یک نوع قیر و یک نوع افزودنی ضد عریان شدگی (آهک هیدراته) که همگی از تولیدات داخلی هستند. ویژگی‌های مواد مصرفی به شرح زیر است:

**سنگدانه‌ها:** دو نوع سنگدانه برای انجام آزمایش‌ها به کار برده شد. یکی از جنس آهک و دیگری از جنس سیلیس (کوارتزیت) که هر دو آنها از معدنی واقع در آزاد راه تهران - قزوین تهیه شد. سنگدانه‌ها در زمان تحویل به صورت مخلوطی از اندازه‌های مختلف بود که پس از انتقال به آزمایشگاه شستشو و دانه بندی شد. سنگ آهک دارای خاصیت بازی است، بنابراین با اسیدی مانند اسید کلریدریک وارد واکنش می‌شود. در مقابل، سنگ سیلیس دارای خاصیت اسیدی بوده و هیچگونه واکنشی با اسیدها ندارد. برای تهیه مخلوط آسفالتی «دانه بندی متراکم»<sup>۵</sup> با حداقل اندازه اسمی ۱۹ میلیمتر از استاندارد ASTM D۳۵۱۵ انتخاب شد<sup>[۴]</sup>. این دانه بندی برای ساخت آسفالت رویه و آستر مناسب است. میانگین حدود توصیه شده در استاندارد به عنوان منحنی دانه بندی سنگدانه‌ها انتخاب شد (شکل ۱). دیگر ویژگی‌های سنگدانه‌ها در جدول (۱) آمده است.

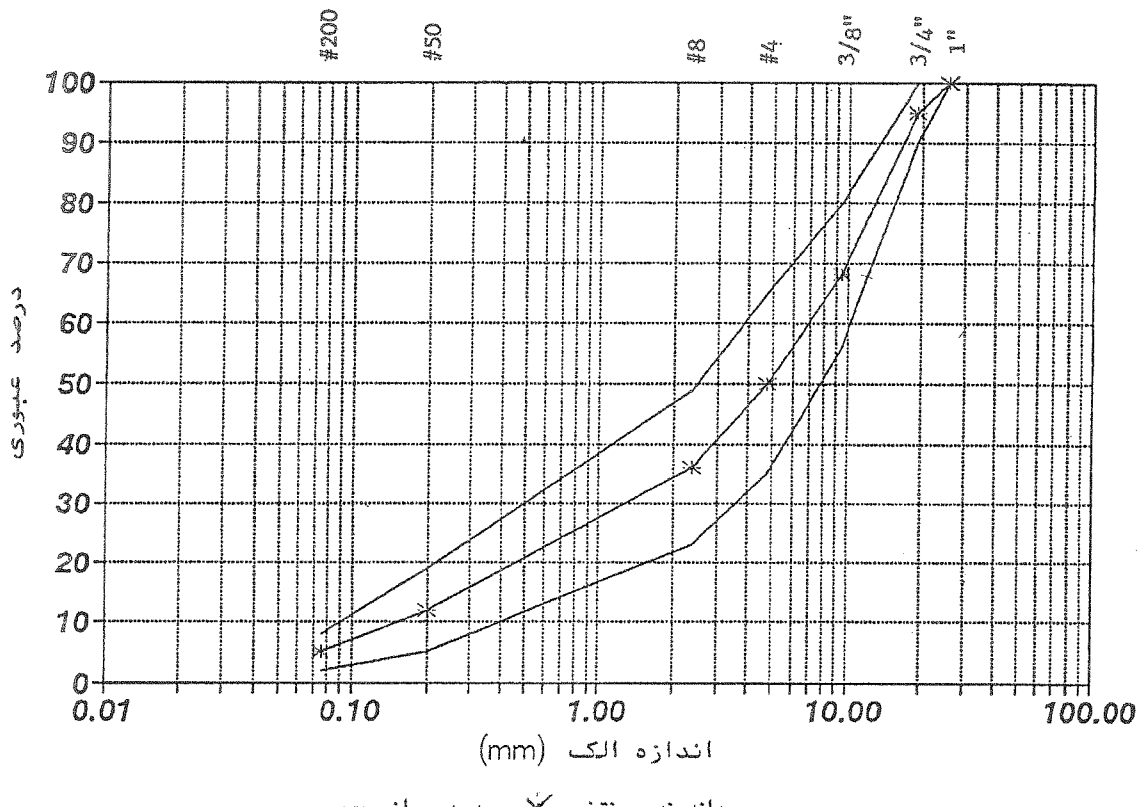
دوم مخلوط‌های آسفالتی اساساً باسته به حفظ چسبندگی دو فاز قیر و سنگدانه در هنگام حضور رطوبت است. از بین رفتن چسبندگی قیر و سنگدانه در مخلوط‌های آسفالتی که اصطلاحاً «عریان شدگی مصالح»<sup>۱</sup> نامیده می‌شود، باعث کاهش استقامت و ایجاد زمینه برای پیدایش دیگر خرابی‌ها در روسازی می‌شود. این خرابی بیشتر در مخلوط‌هایی بروز می‌کند که در آنها از سنگدانه‌های «مستعد به عریان شدگی»<sup>۲</sup> استفاده شده باشد [۲]. این خرابی فقط منحصر به مناطق مرطوب نیست، بلکه در مناطقی با آب و هوای بسیار گرم و خشک، مانند عربستان نیز مشاهده شده است [۳]. در مقابل سنگدانه‌های مستعد در برابر عریان شدگی نوع دیگری از سنگدانه‌ها هستند که «مقاوم در برابر عریان شدگی»<sup>۳</sup> می‌باشند. سنگدانه‌های نوع اول دارای ترکیبات اسیدی، مانند کوارتز و گرانیت هستند و سنگدانه‌های نوع دوم دارای ترکیبات بازی، مانند سنگ آهک و دولومیت هستند. واکنش شیمیایی بین اجزاء سنگدانه‌ها و قیر باعث افزایش چسبندگی بین آنها می‌شود. بنابراین برخی را نظر بر این است که، جزء اسیدی قیر با جزء بازی سنگدانه‌های مقاوم در برابر عریان شدگی وارد واکنش شده و یک ترکیب غیرقابل حل در آب را ایجاد می‌کند. این پدیده سبب مقاومت بیشتر این گونه سنگدانه‌ها در برابر تهاجم رطوبت می‌شود [۲]. یکی از مشکلات متدائل در راهسازی، نبودن مصالح مرغوب و مقاوم در برابر عریان شدگی در نزدیکی محل اجراست. برای رفع این نقیصه می‌توان از «مواد افزودنی ضد عریان شدگی»<sup>۴</sup> استفاده کرد. آهک هیدراته، سیمان پرتلند، و مایعات قابل افزودن به قیر از این دسته هستند.

در این پژوهش آزمایشگاهی دو نوع سنگدانه، یکی مقاوم در برابر عریان شدگی (سنگ آهک) و دیگری مستعد به آن (سنگ سیلیس) در نظر گرفته شد. در این

جدول (۱) ویژگی های فیزیکی سنگدانه های آهکی و سلیمیسی

سنگ سلیمیس	سنگ آهک	استاندارد به کار رفته	خصوصیات سنگدانه ها
۲/۵۱۱	۲/۶۳۵	ASTM C۱۲۷, C۱۲۸, D۸۵۴	چگالی واقعی
۲/۰۶	۰/۶۶	ASTM C۱۲۷	جذب آب درشت دانه (مانده روی الک <sup>#۸</sup> ٪)
۵/۰۲	۲/۵۶	ASTM C۱۲۸	جذب آب ریزدانه (عبوری از الک <sup>#۸</sup> ٪)
۲/۰۶	۰/۴۶	MS-۲	جذب قدر (٪)
۲۰/۵	۲۰/۷	BS۸۱۲- part ۱ (۱۹۷۵)	ضریب تورق <sup>۶</sup> برای اندازه ۱۹ میلیمتر (٪)
۲۷/۳	۲۰/۰	BS۸۱۲- part ۱ (۱۹۷۵)	ضریب تورق برای اندازه ۹/۵ میلیمتر (٪)
۱۶/۶	۱۷/۸	BS۸۱۲- part ۱ (۱۹۷۵)	ضریب تطویل <sup>۷</sup> برای اندازه ۱۹ میلیمتر (٪)
۱۱/۹	۲۲/۲	BS۸۱۲- part ۱ (۱۹۷۵)	ضریب تطویل برای اندازه ۹/۵ میلیمتر (٪)
۲۲/۴	۲۱/۲	ASTM C۱۲۱	سایش لوس آنجلس (٪)
۲۰/۰	۲۴/۹	BS۸۱۲-part ۱۱۲ (۱۹۸۹)	ارزش ضربه ای مصالح، (AIV)٪

قییر: برای تهیه نمونه های آسفالتی از قیر خالص با درجه نفوذ ۶۰-۷۰ استفاده شد. مشخصات قیر مصرفی در جدول (۲) آمده است.



شکل (۱) منحنی دانه بندی منتخب با حداقل اندازه اسمی ۱۹ میلیمتر ( $\frac{۳}{۴}$  اینچ)

جدول (۲) مشخصات قیر به کار رفته در ساخت مخلوطهای آسفالتی

مشخصه قیر	استاندارد بکار رفته	قیر ۵-۷
چگالی	ASTM D7	
درجه نفوذ (mm)	ASTM D5	۶۲
نقاطه نرمی (°C)	ASTM D26	۴۹
شکل پذیری (cm, (Ductility))	ASTM D112	۱۰۰

سپس وزن خشک، ضخامت نمونه ها و چگالی واقعی<sup>۱</sup> مطابق استاندارد ASTM D2726 اندازه گیری شد<sup>[۴]</sup>. نمونه ها برای مدت یک روز در دمای محیط قرار گرفتند و ۳۰ تا ۴۰ دقیقه قبل از انجام آزمایش استقامت مارشال، درون حمام آب ۶۰°C گذاشته شدند. آزمایش حداقل چگالی نظری مطابق استاندارد ASTM D2041 انجام و درصد فضای خالی نمونه ها محاسبه شد [۴]. همچنین VMA<sup>۱۰</sup> و VFA<sup>۱۱</sup> با استفاده از روابط ارائه شده در نشریه ۲-MS انتیتو آسفالت محاسبه شد [۶].

## ۲-۲- روش افزودن آهک هیدراته به سنگدانه ها

آهک هیدراته به صورت دوغاب (۲۰ درصد وزنی پودر آهک هیدراته و ۷۰ درصد وزنی آب) با سنگدانه ها مخلوط شد، به طوری که سطح سنگدانه کاملاً و به طور یکنواخت به آن آغشته شد. میزان آهک مصرفی بین ۱ تا ۲ درصد وزن سنگدانه ها اختیار شد.

## ۲-۳- آزمایش کشش غیر مستقیم<sup>۱۲</sup>

برای ارزیابی نمونه های آسفالتی از لحاظ مقاومت در برابر رطوبت، آزمایش کشش غیر مستقیم، که شرح آن در استاندارد AASHTO T ۲۸۳-۸۵ آمده است، به کار گرفته شد [۱]. به طور خلاصه مراحل آزمایش به ترتیب زیر است:

- برای هر وضعیت اختلاط، معمولاً شش نمونه آسفالتی تهیه می شود.

- سنگدانه و قیر داغ پس از اختلاط درون سینی آلومینیومی با سطح مقطع ۴۸۴ تا ۶۴۵ سانتیمتر مربع (۱۰۰ اینچ مربع) ریخته شده، سپس مخلوط آسفالتی حاصل برای مدت ۵/۰ ± ۰/۲ ساعت در دمای آزمایشگاه خنک شده و سرانجام درون گرمخانه با دمای ۶۰°C برای مدت ۱۶ ساعت گذاشته می شود.

- پس از ۱۶ ساعت دمای گرمخانه را به ۱۲۵°C افزایش داده و پس از ۲ ساعت مخلوط های آسفالتی درون قالب های فلزی به قطر ۱۰/۶ میلیمتر (۴ اینچ) ریخته و متراکم می شوند. در این مرحله باید با تنظیم تعداد ضربات یا وزن چکش به ۷±۱ درصد فضای خالی دست یافت.

- نمونه ها را از قالب خارج ساخته، ضخامت، چگالی

## ۲-۴- آزمایش جوشاندن به روش تکراس<sup>۱۳</sup>

این آزمایش، یک آزمایش تخمینی و مشاهده ای است که به کمک آن می توان یک برداشت اولیه از استعداد سنگدانه ها به عریان شدگی به دست آورد [۵]. طی این آزمایش، نمونه سنگی پس از اختلاط با قیر در دمای ۱۰°C (۳۲۵°F) و سرد شدن در هوا، برای مدت ۱۰ دقیقه در آب جوش قرار داده می شود. مخلوط آسفالتی از آب جوش خارج شده و به مدت یک روز در دمای اطاق قرار داده می شود، به طوری که امکان زهکشی برای آن فراهم باشد. با مشاهده ظاهری نمونه می توان درصد عریان شدگی را به طور تقریبی تعیین کرد. این آزمایش بر روی مصالح مانده روی الک شماره ۸/۲۶ (۲۶ میلیمتر) انجام می گیرد.

## ۲-۵- تعیین درصد بهینه قیر

برای تعیین درصد بهینه قیر، نمونه های استوانه ای به قطر ۱۰/۱۶ میلیمتر (۴ اینچ) و ضخامت ۶۲/۵ میلیمتر (۲/۵ اینچ) با سنگدانه های آهکی و سیلیسی و درصد های متفاوت قیر تهیه شد. نمونه های مارشال مطابق با استاندارد ASTM D ۱۵۵۹ ساخته شد [۴]. سنگدانه ها و قیر در دمای ۱۶۰ تا ۱۶۲ درجه سانتیگراد گرم شده و پس از اختلاط با ۵۰ ضربه چکش مارشال بر هر طرف نمونه (شرايط ترافيك متوسط) متراکم شد.

$$TSR = \frac{ITS_{(حالات تر)}}{ITS_{(حالات خشک)}} \quad (2)$$

**۲-۵- دستگاه آزمایش کشش غیر مستقیم**  
برای انجام آزمایش کشش غیرمستقیم، تغییراتی در فک های بارگذاری دستگاه مارشال صورت گرفت. در این آزمایش بارگذاری توسط دو نوار فلزی به عرض ۱۲/۷ میلیمتر (۵٪ اینچ) اعمال می شود. طرح پیشنهادی آقای بلادی با اندکی تغییرات مورد استفاده قرار گرفت [۷]. شکل های (۲ تا ۴) جزئیات قسمت بارگذاری آزمایش کشش غیر مستقیم را نشان می دهد.

### ۳- نتایج آزمایش

**۳-۱- نتایج آزمایش جوشاندن به روش تگزاس**  
در این مرحله در مجموع شش نمونه مخلوط آسفالتی ساخته شد، سه نمونه حاوی سنگ آهک و سه نمونه حاوی سنگ سیلیس که در آنها فقط دانه های بالای الک شماره ۸ (۲/۳۶mm) به کار رفته بود. نمونه اول فاقد ماده افزودنی، نمونه دوم شامل ۱ درصد آهک هیدراته و نمونه سوم شامل ۲ درصد آهک هیدراته بود. میزان قیر به کار رفته ۵ درصد نسبت به وزن مخلوط آسفالتی بود، با این میزان قیر سطح سنگدانه ها کاملاً با غشاء نازکی از قیر پوشیده شد. نمونه های مذکور به وسیله آزمایش جوشاندن به روش تگزاس مورد ارزیابی قرار گرفت.  
نتایج مشاهدات در روز بعد از آزمایش در جدول (۳) خلاصه شده است. ملاحظه می شود که تمایل به عربان شدگی در سنگدانه های سیلیس ۱۵ درصد بیش از سنگدانه های آهکی است، ولی استفاده از پودر آهک هیدراته این تمایل را از بین می برد.

جدول (۳) میزان عربان شدگی سطح سنگدانه ها پس از آزمایش جوشاندن به روش تگزاس

درصد جداشده کی قیر از سطح سنگدانه		نوع مخلوط آسفالتی
سنگ سیلیس	سنگ آهک	
۷۰	۵۵	بدون ماده افزودنی
~	~	حاوی ۱٪ آهک هیدراته
~	~	حاوی ۲٪ آهک هیدراته

واقعی و درصد فضای خالی آنها تعیین می شود.

- نمونه ها به دو گروه سه تایی طوری تقسیم می شوند که متوسط درصد فضای خالی دو گروه نزدیکترین باشد. یک گروه برای انجام آزمایش در حالت تر و گروه دیگر برای انجام آزمایش در حالت خشک در نظر گرفته می شود.

- نمونه ها شماره گذاری شده و برای مدت ۷۲ الی ۹۶ ساعت درون کیسه پلاستیکی درسته و در دمای آزمایشگاه باقی می مانند. نمونه های خشک تا زمان آزمایش درون کیسه باقی می مانند.

- نمونه های گروه تراز کیسه خارج شده و درون ظرف حاوی آب مقطر گذاشته می شوند تا با اعمال خلاء اشباع شوند. در این مرحله باید با تنظیم میزان و زمان مکش به درصد اشباع شدگی فضای خالی ۵۵ تا ۸۰ درصد دست یافت.

- نمونه های تراز کاملاً با پلاستیک پوشانده شده و درون کیسه پلاستیکی درسته قرار داده می شوند و برای مدت ۱۶ ساعت درون فریزر  $18^{\pm}3^{\circ}\text{C}$  - گذاشته می شوند.

- نمونه ها از فریزر خارج شده و برای مدت ۲۴ ساعت درون حمام آب  $40^{\pm}1^{\circ}\text{C}$  گذاشته می شوند.

- دو ساعت قبل از انجام آزمایش کشش غیر مستقیم باید نمونه های تر و خشک را درون حمام آب  $50^{\pm}5^{\circ}\text{C}$  قرار داد.

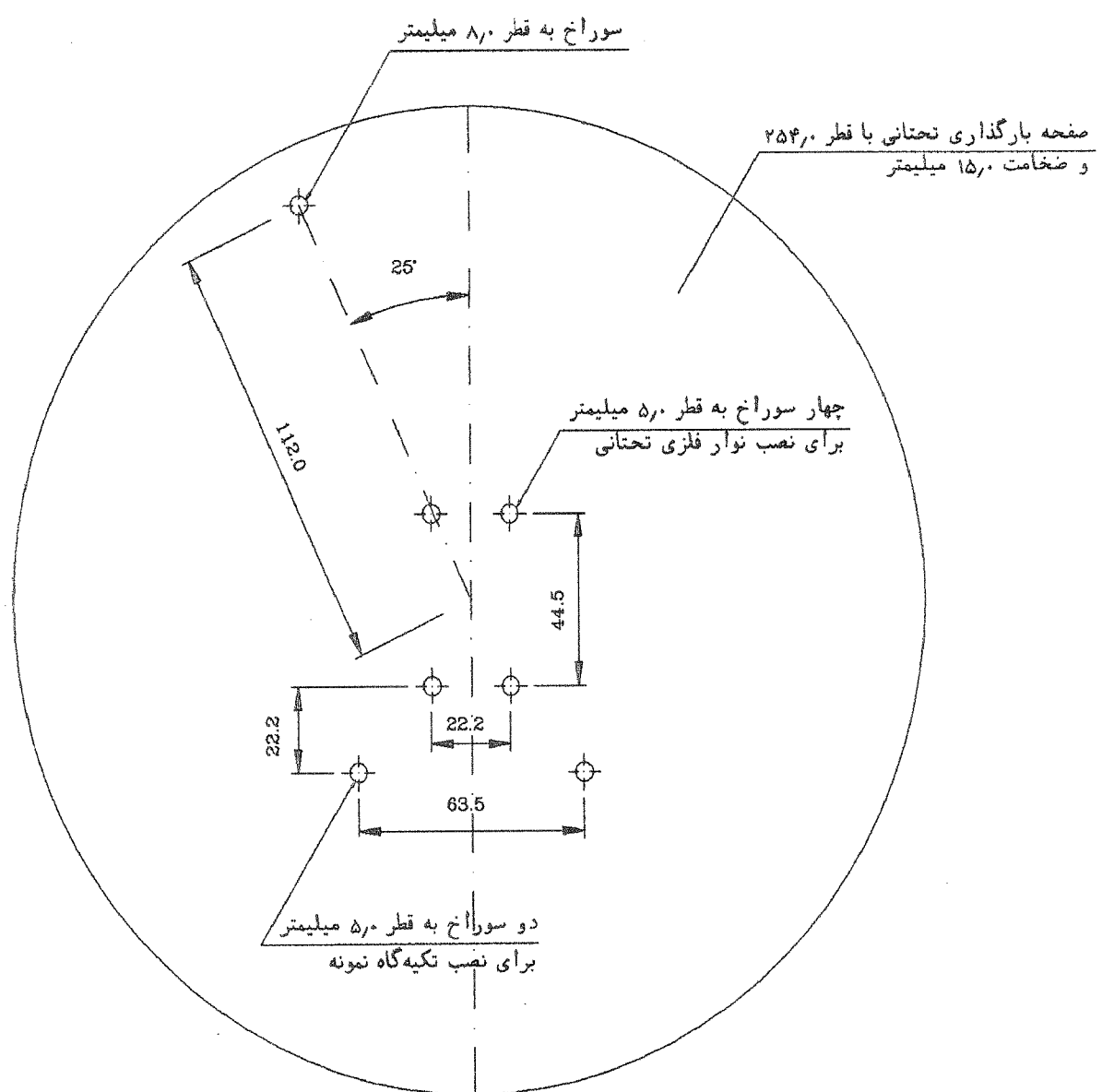
- نمونه ها از حمام  $25^{\circ}\text{C}$  خارج شده و بین دو فک دستگاه بارگذاری کشش غیرمستقیم قرار داده می شوند. بارگذاری با سرعت ۸/۵ میلیمتر در دقیقه (۲ اینچ در دقیقه) صورت می گیرد و مقاومت گسیختگی نمونه ثبت می شود.

- مقاومت کششی نمونه ها از رابطه زیر محاسبه می شود:

$$ITS = \frac{2P}{\pi t D} \quad (1)$$

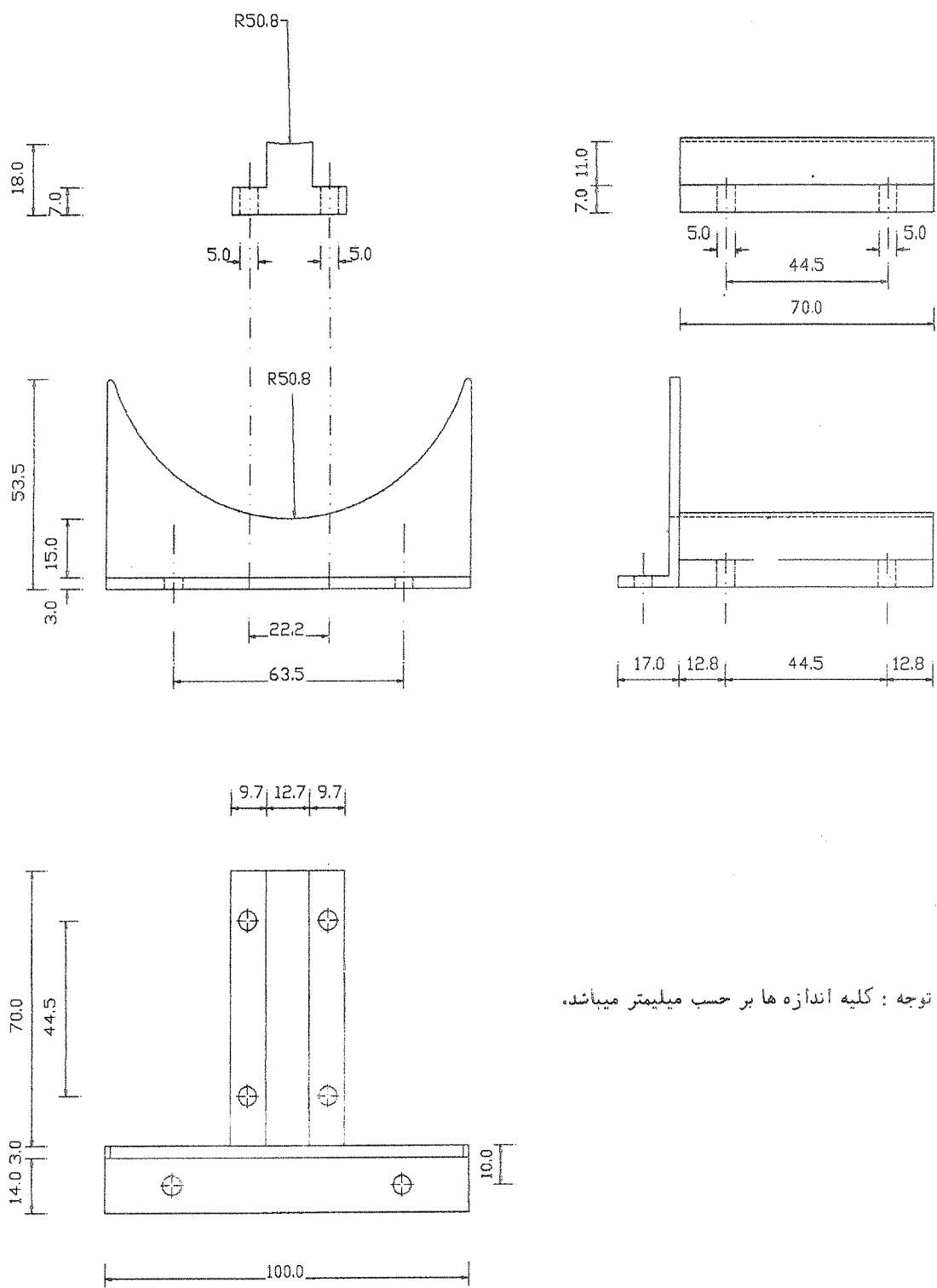
که در آن،  
ITS مقاومت کششی غیر مستقیم،  
P بار نهایی،  
 $t$  ضخامت نمونه و  
D قطر نمونه است.

- نسبت مقاومت کششی از رابطه زیر محاسبه می شود:

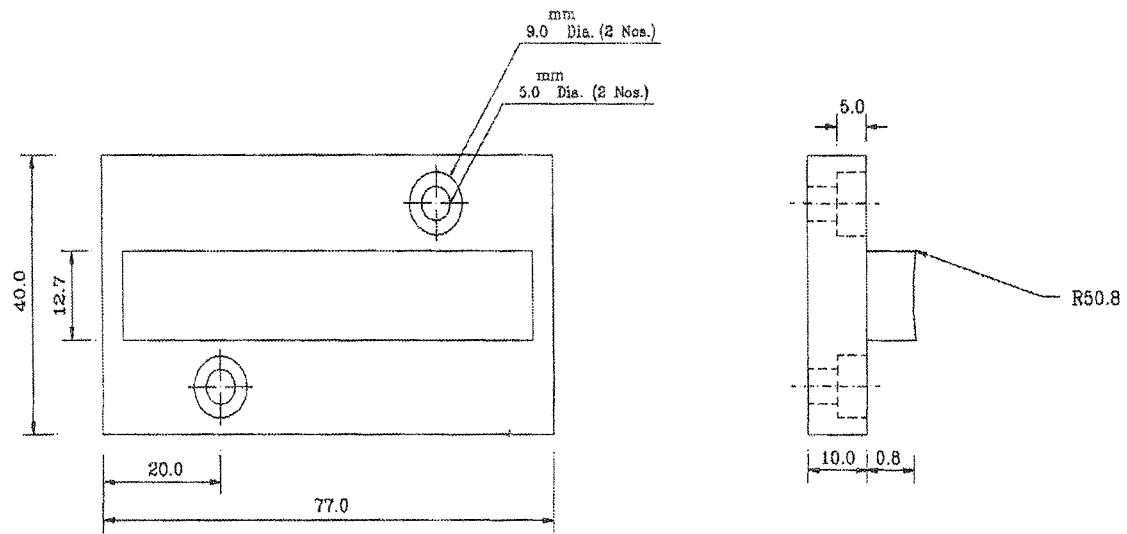


توجه: کلیه اندازه ها بر حسب میلیمتر میباشد.

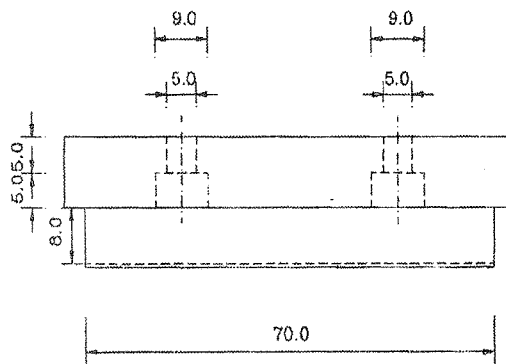
شکل (۲) طرح صفحه تحتانی دستگاه آزمایش گشش غیر مستقیم



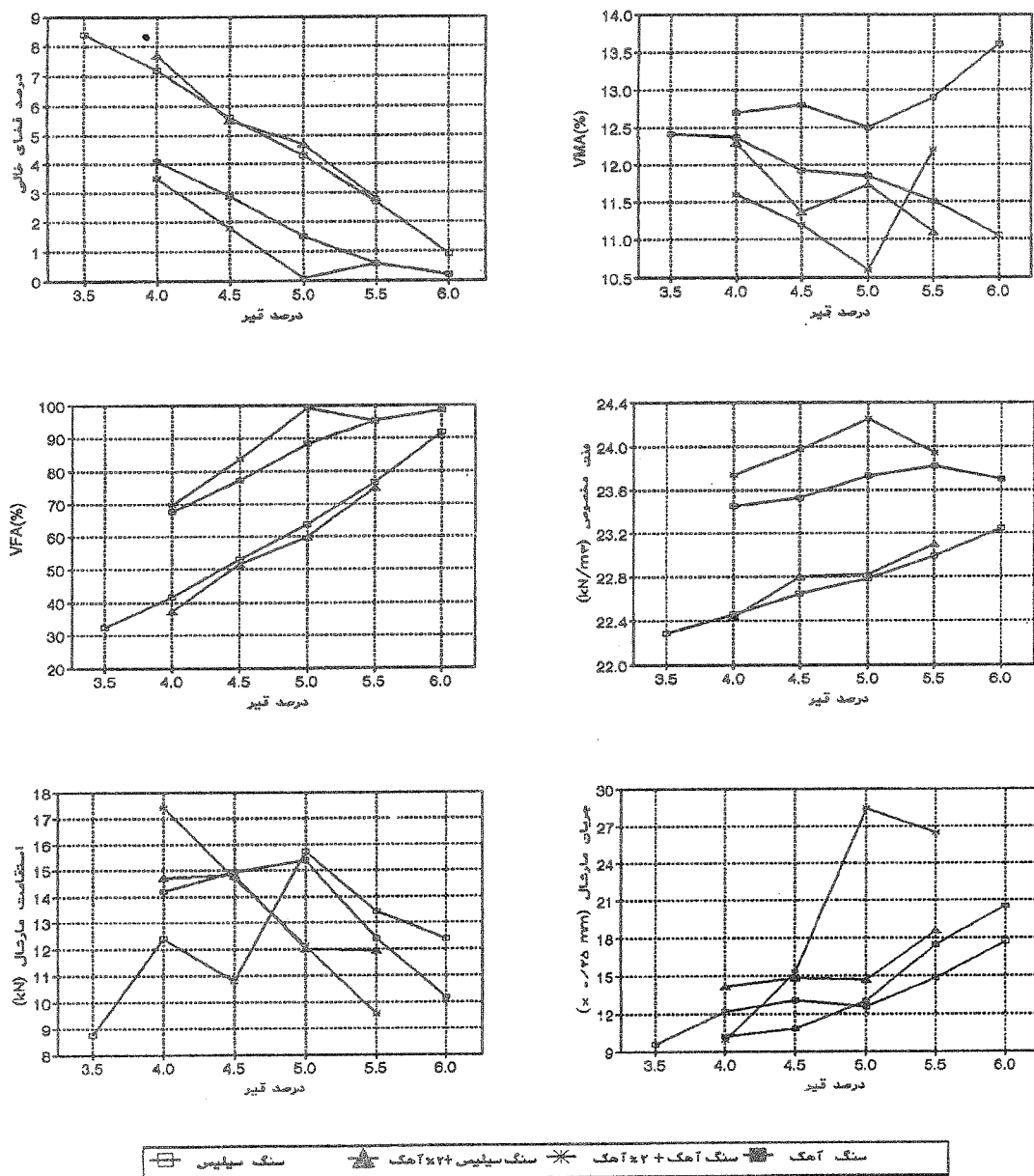
شکل (۳) طرح نوار فلزی تختانی و نگهدارنده نمونه مربوط به دستگاه آزمایش گشش غیر مستقیم



توجه: کلیه اندازه ها بر حسب میلیمتر میباشد.



شکل (۲) طرح نوار فلزی فوقانی مربوط به دستگاه آزمایش کشن غیرمستقیم



## ۲-۳- تعیین درصد قیر بهینه

نمونه های متراکم و چگالی سنتگدانه ها) باشد. در این مطالعه قیر بهینه براساس جریان مارشال، درصد فضای خالی نمونه های متراکم و VFA تعیین شد. بررسی نتایج نشان داد که برای نمونه های حاوی سنگ آهک (با و بدون ماده افزودنی) درصد قیر بهینه برابر  $4/5$  و برای نمونه های حاوی سنگ سیلیس (با و بدون ماده افزودنی) درصد قیر بهینه برابر  $0/5$  باستی در نظر گرفته شود.

## ۳-۲- نتایج آزمایش کشش غیر مستقیم

در این مرحله از آزمایش ها  $42$  نمونه استوانه ای آسفالتی مطابق با استاندارد  $T282-85$  AASHTO، که شرح آن آمد، تهیه و مورد آزمایش قرار گرفت [۱]. انجام آزمایش ها  $7$  هفته طول کشید. هر هفته یک سری شش تایی از نمونه ها تهیه و آزمایش می شد. بدین ترتیب هفت گونه مخلوط آسفالتی مورد بررسی قرار گرفت که عبارت بودند از: سنگ آهک بدون ماده افزودنی، سنگ آهک با  $1$  درصد آهک هیدراته، سنگ آهک با  $2$  درصد آهک هیدراته، سنگ سیلیس بدون ماده افزودنی، سنگ سیلیس با  $1$  درصد آهک هیدراته، سنگ سیلیس با  $2$  درصد آهک هیدراته. درصد قیر بکار رفته همان درصد قیر بهینه مشخص شده در سری آزمایش های مارشال بود، یعنی  $4/5$  درصد برای نمونه های حاوی سنگ آهک و  $0/5$  درصد برای نمونه های حاوی سنگ سیلیس.

نتایج آزمایش طی نمودارهای شکل (۶) ارائه شده است. همچنین جدول (۵) مقایسه ای از مقادیر مقاومت کششی غیر مستقیم (ITS) و نسبت مقاومت کششی (TSR) را نشان می دهد. عبارت از نسبت مقاومت کششی نمونه تر به مقاومت کششی نمونه خشک مشابه آن می باشد.

نکاتی که در رابطه با آزمایش های این مرحله لازم به ذکر است به شرح زیر است:

- به منظور دستیابی به درصد فضای خالی مورد نظر ( $7\pm1$ )، بر نمونه های حاوی سنگ آهک  $7$  ضربه و بر نمونه های حاوی سنگ سیلیس  $16$  ضربه چکش مارشال به هر طرف نمونه وارد شد.

- به منظور اشباع سازی نمونه های «تر» از خلاء زایی به میزان  $620$  میلیمتر جیوه به مدت  $2$  تا  $3$  دقیقه استفاده شد.

- دمای فریزر در حدود  $5^{\circ}\text{C}$ - $15$  بود.

برای تعیین درصد قیر بهینه، چهارگونه مخلوط آسفالتی در نظر گرفته شد؛ سنگ آهک بدون ماده افزودنی، سنگ آهک با  $2$  درصد آهک هیدراته، سنگ سیلیس بدون ماده افزودنی و سنگ سیلیس با  $2$  درصد آهک هیدراته. در این مرحله از کار  $59$  نمونه مارشال تهیه و مورد آزمایش قرار گرفت.

درصد قیر به کار رفته برای نمونه های حاوی سنگ آهک بین  $0/4$ - $0/6$  درصد، برای نمونه های حاوی سنگ آهک و آهک هیدراته بین  $0/4$ - $0/5$  درصد، برای نمونه های حاوی سنگ سیلیس بین  $0/3$ - $0/6$  و برای نمونه های حاوی سنگ سیلیس و آهک هیدراته بین  $0/0$ - $0/5$  درصد بوده است. شکل (۵) نمودارهای شش گانه حاصل از نتایج آزمایش این مرحله را نشان می دهد.

شکل (۵) نمودارهای مربوط به تعیین درصد قیر بهینه مخلوط های آسفالتی به عنوان معیار تصمیم گیری در تعیین درصد قیر بهینه از مقادیر پیشنهادی در نشریه MS-2 استفاده شد [۶]. جدول (۶) حدود مجاز را برای هر یک از پارامترها نشان می دهد.

جدول (۶) معیار طرح مخلوط مارشال [۶]

حدود مجاز برای ترا فیک متوسط EAL بین $0/0$ تا $0/15$		پارامتر مارشال
حداکثر	حداقل	
۵۰	۵۰	تعداد ضربات چکش بر هر طرف نمونه استقامات، KN
-	$5/2$	جریان، $0/25 \text{ mm}$
۱۶	۸	درصد فضای خالی
۵	۲	VMA درصد
-	۱۲	VFA درصد
۷۸	۶۵	

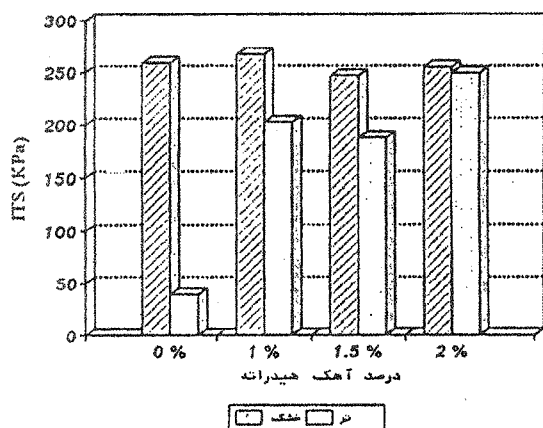
تمامی نمونه ها معیار استقامات را جوابگو هستند. یعنی استقامات تمام نمونه های آزمایش شده بیش از  $5/2$  کیلو نیوتن است. نمودار VMA نشان می دهد که تنها سنگ آهک با  $6$  درصد قیر دارای VMA بیشتر از حداقل مجاز پیشنهادی است. علت این امر ممکن است خطای اندازه گیری پارامترهای مؤثر بر VMA (چگالی

## ۴- بحث در مورد نتایج

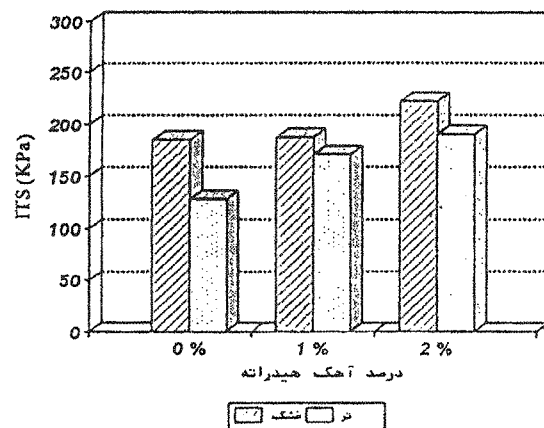
### ۴-۱- روش طرح مخلوط مارشال

- شده در مورد این مرحله از آزمایش‌ها به شرح زیر است:
- میزان استقامت مارشال با افزایش درصد قیر تا حد معینی افزایش یافته و سپس سیر نزولی را طی می‌کند.
  - جریان مارشال با افزایش درصد قیر، افزایش می‌یابد.
  - نمودار دانسیته مربوط به نمونه‌های حاوی سنگ آهک به شکل دانسیت محاسب است، اما نمودارهای مربوط به نمونه‌های حاوی سیلیس صعودی است.

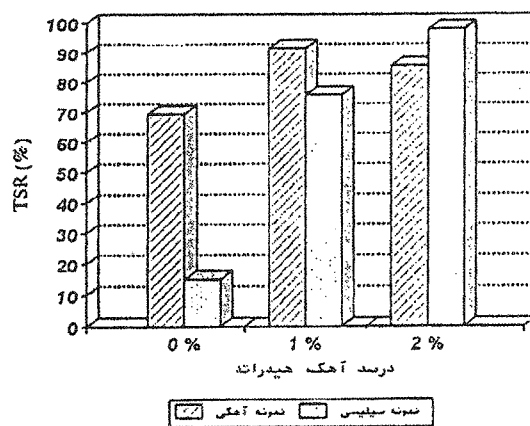
همانگونه که ملاحظه شد درصد قیر بهینه مخلوط‌های آسفالتی براساس روش پیشنهادی انتستیتو آسفالت تعیین شد [۶]. در این مطالعه، از آنجایی که معیار تصویب شده‌ای برای شرایط آب و هوای ایران در دست نبود، از همان مقادیر پیشنهادی انتستیتو آسفالت استفاده شد. نمودارهای شکل (۵) نشان داد که برای دانه‌بندی انتخاب شده برای این مصالح نمی‌توان درصد قیری را انتخاب نمود که تمامی معیارها را جوابگو باشد. سرانجام درصدی که بیشترین شرایط را رعایت کرده انتخاب شد. به طور کلی نکات مشاهده



نمونه‌های حاوی سنگ سیلیس



نمونه‌های حاوی سنگ آهک



شکل (۶) نتایج آزمایش کشش غیرمستقیم و نسبت مقاومت گششی نمونه‌های آسفالتی حاوی سنگ آهک و سیلیس

جدول (۶) خلاصه نتایج آزمایش مقاومت گششی غیرمستقیم (ITS) مطابق استاندارد (T283-۸۵)

TSR (%)	مقاومت گششی (kPa)		درصد آهک هیدراته	نوع سنگدانه
	نمونه های تر	نمونه های خشک		
۶۹/۳	۱۲۸	۱۸۵	-	سنگ آهک
۹۱/۳	۱۷۱	۱۸۷	۱	
۸۵/۷	۱۹۰	۲۲۲	۲	
۱۵/۰	۳۹	۲۵۸	-	سنگ سیلیس
۷۵/۸	۲۰۲	۲۶۷	۱	
۷۶/۰	۱۸۷	۲۴۶	۱/۵	
۹۷/۹	۲۲۹	۲۵۴	۲	

#### ۴-۲-آزمایش گشش غیرمستقیم

با بررسی نتایج این آزمایش‌ها می‌توان نکات زیر را ذکر نمود:

- اعمال شرایط اشباع‌سازی و دوره انجام - ذوب مقاومت گششی نمونه‌های تر را نسبت به نمونه‌های خشک کاهش داده است. این وضعیت در نمونه‌های حاوی هر دو نوع سنگدانه قابل رویت است ولی شدت آن برای نمونه‌های حاوی سنگ سیلیس بیشتر است.

- مقایسه نمونه‌های فاقد ماده افزودنی نشان می‌دهد که نمونه‌های خشک حاوی سنگ سیلیس دارای مقاومت گششی بیشتری نسبت به نمونه‌های خشک حاوی سنگ آهک است (۲۵۸ kPa در مقابل ۱۸۵ kPa). اما نمونه‌های تر حاوی سنگ سیلیس مقاومت کمتری را نسبت به نمونه‌های تر حاوی سنگ آهک حاصل نموده است (۳۹ kPa در مقابل ۱۲۸ kPa).

- در هر دو نوع مخلوط آسفالتی بکارگیری آهک هیدراته باعث افزایش مقاومت گششی نمونه‌های تر شده است. این افزایش در نمونه‌های حاوی سنگ سیلیس چشمگیرتر است و فرضیه واکنش شیمیایی ماده افزودنی با سنگدانه مستعد در مقابل عریان شدنگی را تأیید می‌کند [۲].

- بررسی شکل (۶) نشان می‌دهد که با افزایش درصد آهک هیدراته، مقدار ITS افزایش یافته است. البته نمونه آهکی حاوی ۲ درصد آهک هیدراته نسبت به نمونه آهکی حاوی ۱ درصد آهک هیدراته کاهشی را در

#### ۵-جمع‌بندی نتایج

با توجه به آزمایش‌های محدود انجام شده نتایج زیر را برای شرایط آزمایش شده می‌توان بیان نمود:

- خرابی عریان شدنگی مصالح در مخلوط‌های آسفالتی از رطوبت ناشی می‌شود و باعث کاهش استقامت و پیدایش دیگر خرابی‌ها در روسازی می‌شود. برخی سنگدانه‌ها مستعد به عریان شدنگی و برخی دیگر مقاوم در برابر آن هستند.

- بررسی تأثیر رطوبت بر مقاومت گششی نشان داد که مخلوط‌های آسفالتی حاوی سنگ سیلیس در حالت خشک مقاومت گششی بیشتری را نسبت به مخلوط‌های حاوی سنگ آهک دارا هستند. اما در حالت تر مقاومت گششی آنها به شدت کاهش می‌یابد.

آهک می کند.  
استفاده از ۱ درصد پودر آهک، TSR نمونه ساخته شده از سنگ آهک را نسبت به حالت بدون آهک ۲۰ درصد افزایش می دهد.

- تمايل سنگ های سيليسی به عريان شدگی ۱۵ درصد بيش از سنگدانه های آهکی است.

- استفاده از ۲ درصد پودر آهک هيدراته مقدار نسبت مقاومت نمونه تر به خشک (TSR) مخلوط ساخته شده از سنگدانه های سيليسی را بيش از ۶ برابر حالت بدون

## پانویس

- |                            |                                |
|----------------------------|--------------------------------|
| 1. Stripping               | 7. Elongation ratio            |
| 2. Hydrophilic             | 8. Texas Boiling Test          |
| 3. Hydrophobic             | 9. Bulk Specific Gravity       |
| 4. Antistripping Additives | 10. Voids in Mineral Aggregate |
| 5. Dense graded            | 11. Voids Filled with Asphalt  |
| 6. Flakiness ratio         | 12. Indirect Tensile Test      |

## مراجع

- [1] AASHTO, *Standard Methods of Sampling and Testing*, Association of State Highway and Transportation Officials, 14th edition, (1986).
- [2] Ishai, I., and Craus, J., "Effect of Filler on Aggregate-Bitumen Adhesion Properties in Bituminous Mixtures", *Proc. of Association of Asphalt Paving Technologists*, Vol.46, P. 228, (1977).
- [3] Akili, W., "The Effect of Moisture on Laboratory-Prepared Asphalt Mixtures", *Journal of Testing and Evaluation*, Vol. 21, No. 1, p. 73 (1993).
- [4] ASTM, "Road and Paving Materials", *Annual Book of ASTM Standards*, Vol. 04.03, American Society for Testing and Materials, Philadelphia, PA, (1994).
- [5] Kennedy, T.W., and Ping, W.V., "Comparison Study of Moisture Damage Test Methods for Evaluating Anti-Stripping Treatments in Asphalt Mixtures", *Transportation Research Record No. 1323*, Transportation Research Board, p. 94, (1992).
- [6] Asphalt Institute, *Mix Design Methods*, Asphalt Institute, Manual Series No. 2 (MS-2), Sixth edition, (1993).
- [7] Baladi, G.Y., and Harichandran, R.S., "Asphalt Mix Design and the Indirect Test: A New Horizon", American Society for Testing and Materials, *STP 1041*, p. 86, (1989).